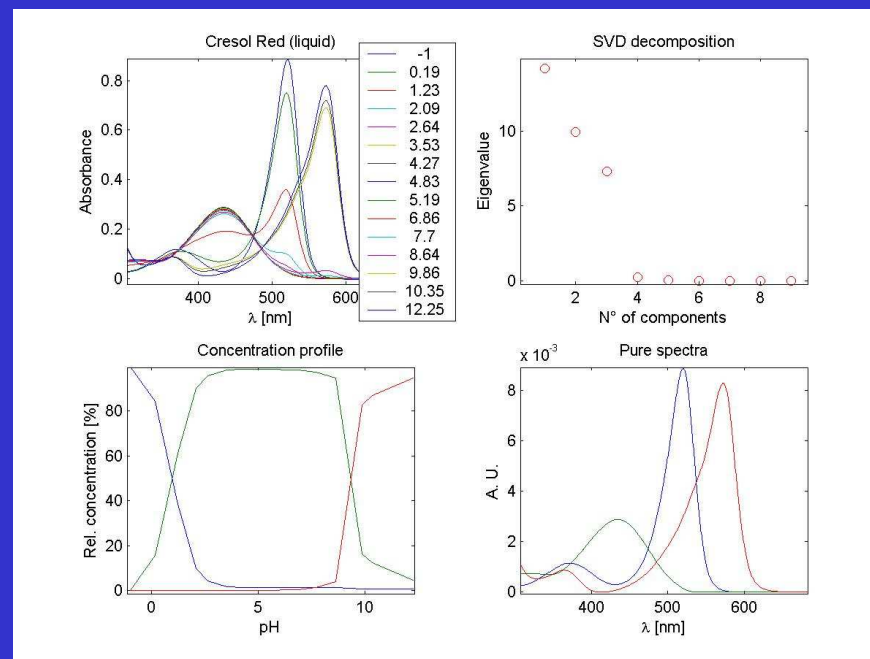
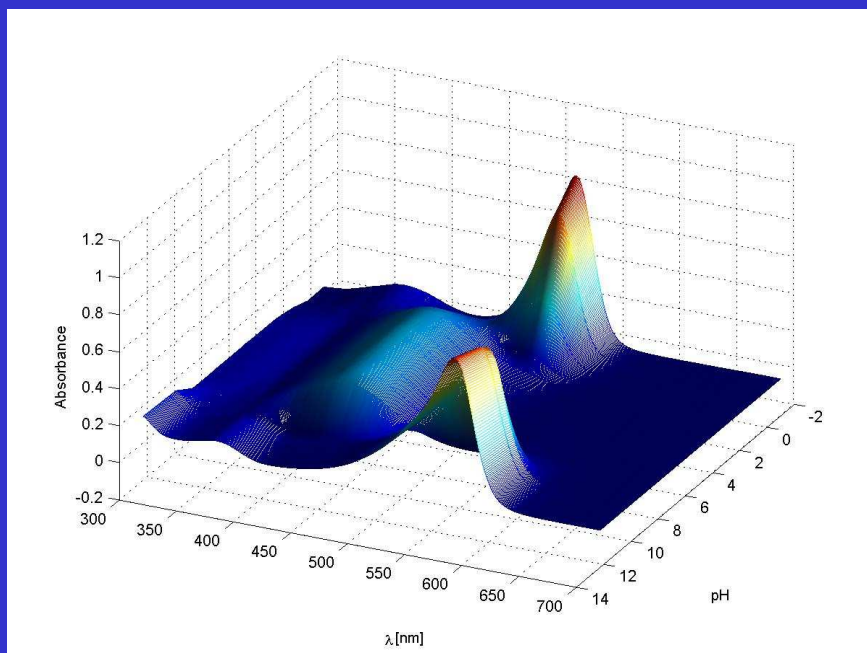


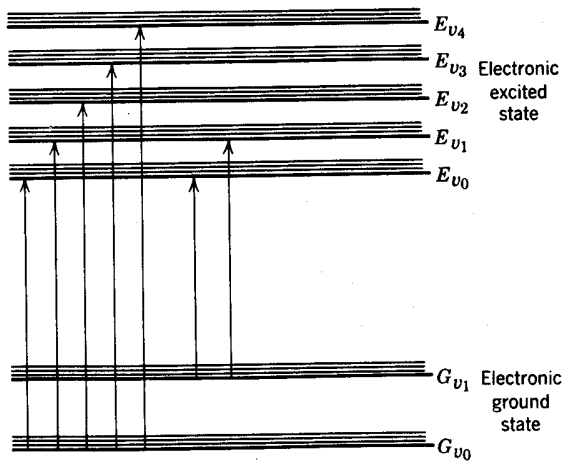
Ultrafialová a viditelná spektroskopie

Materiál k předmětu

C 6390 Fyzikální metody organické chemie – laboratorní cvičení

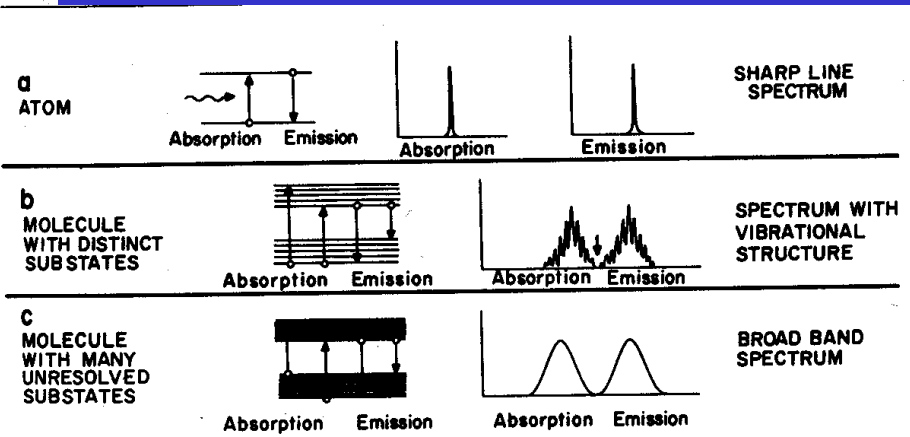
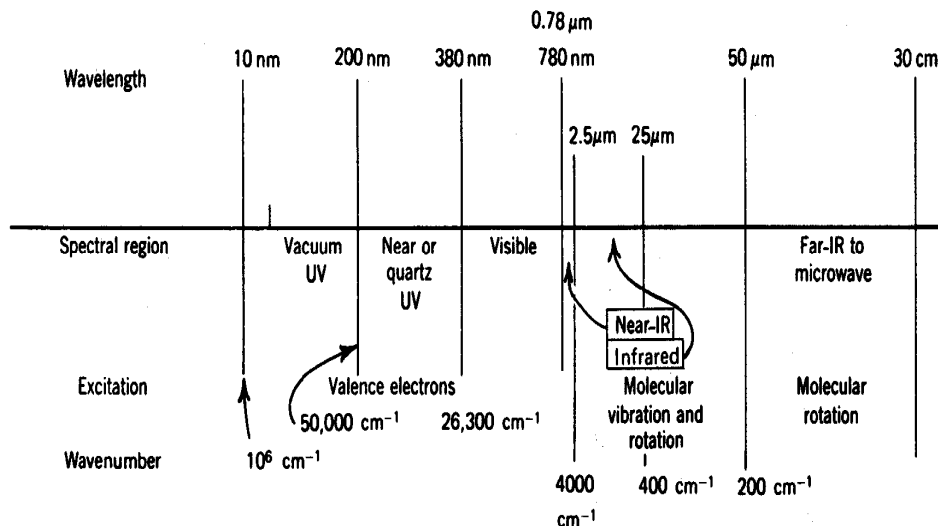


Co měří UV-VIS spektroskopie? fyzikální podstata

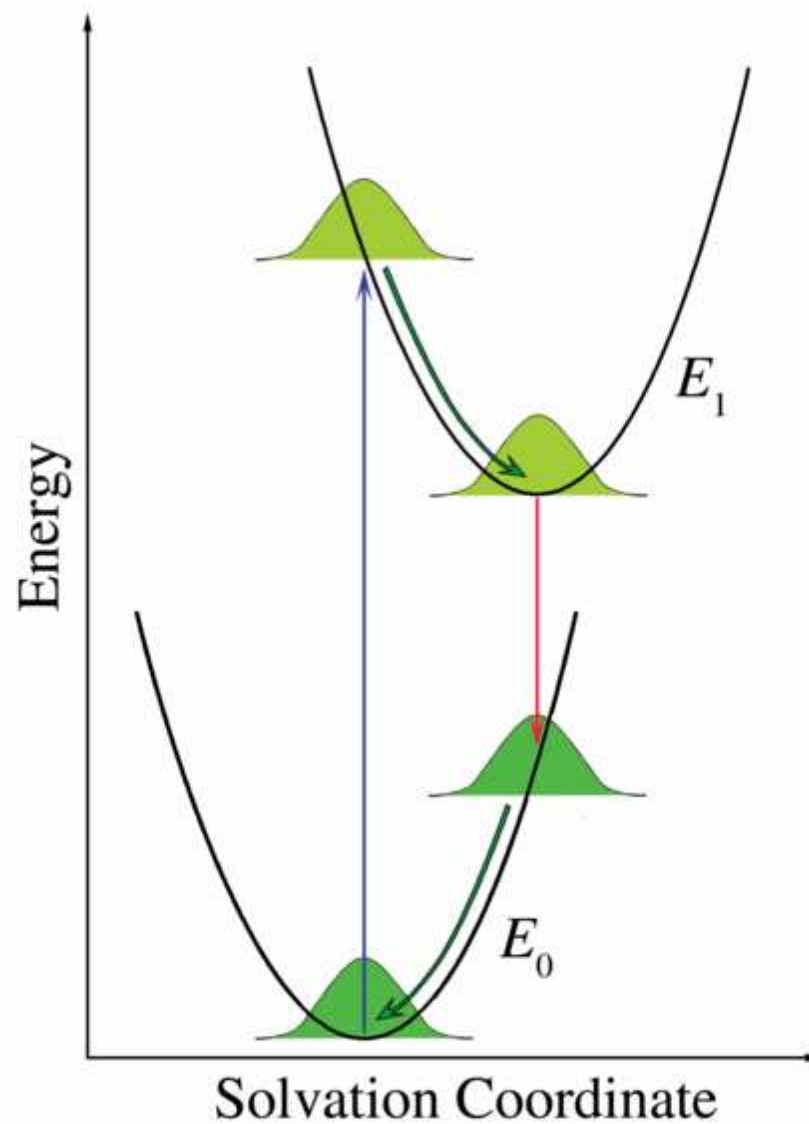
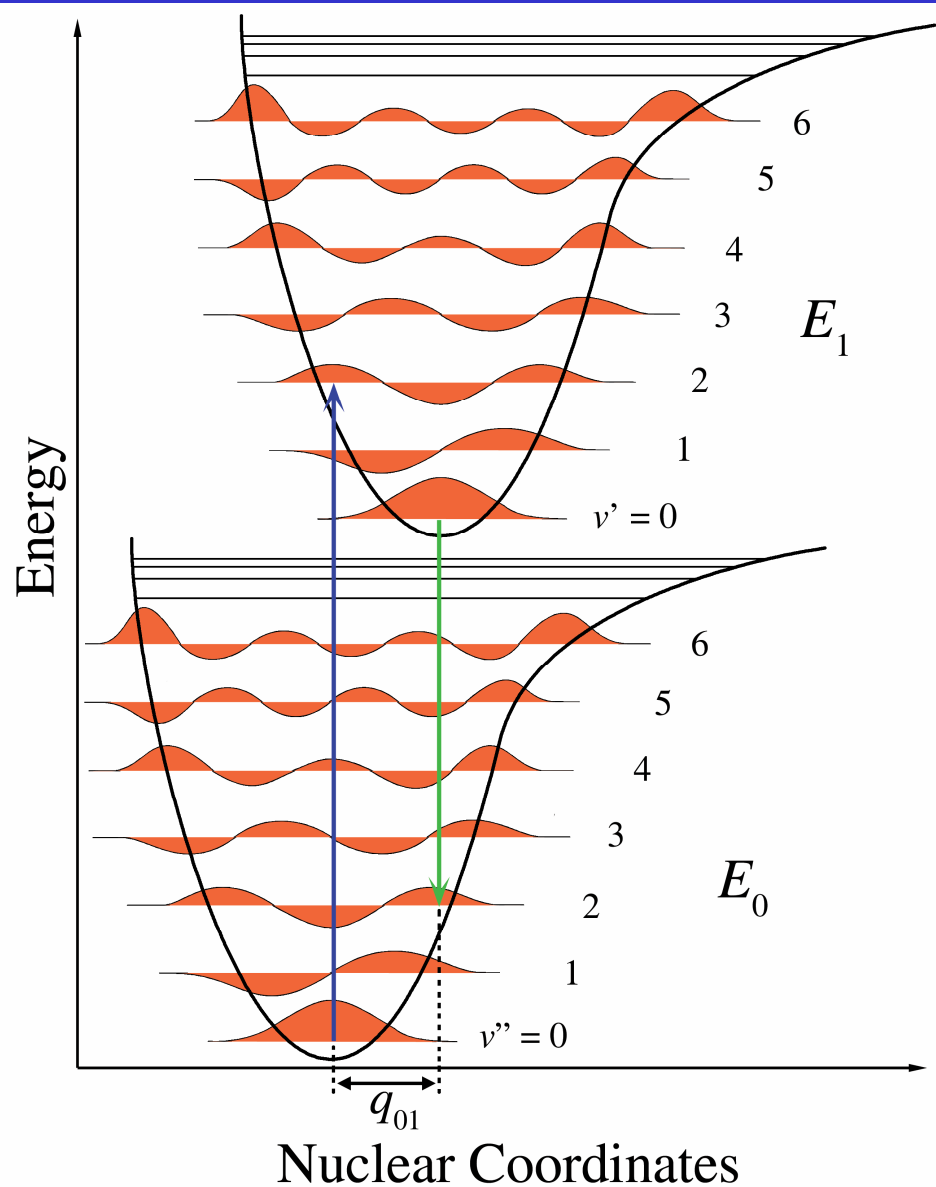


λ / nm	
185 - 200	Vacuum-UV
200 - 380	Near-UV (quartz)
380 - 780	Visible

$$E_{\text{int}} = E_{\text{el}} + E_{\text{vib}} + E_{\text{rot}}$$



Franck-Condon Principle



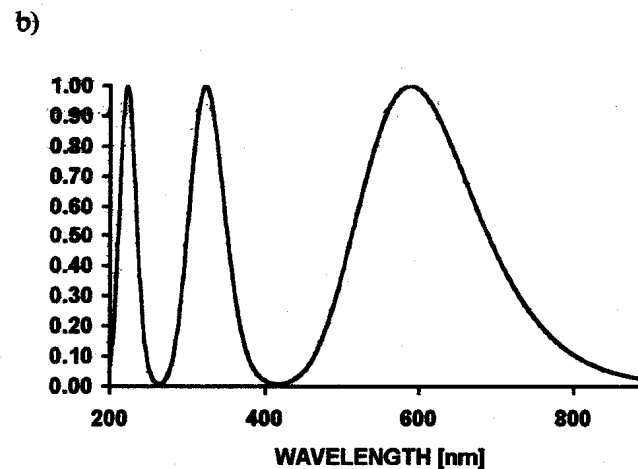
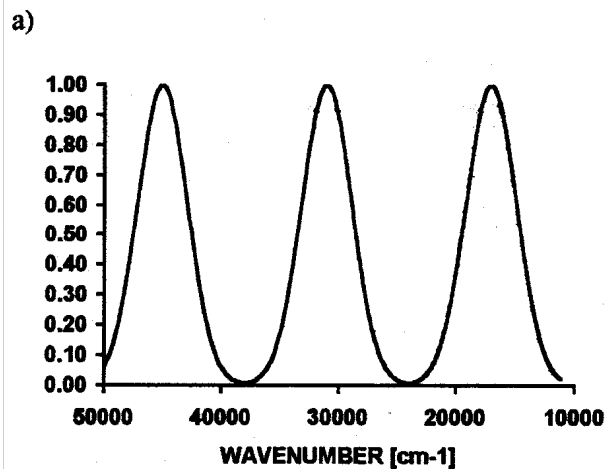
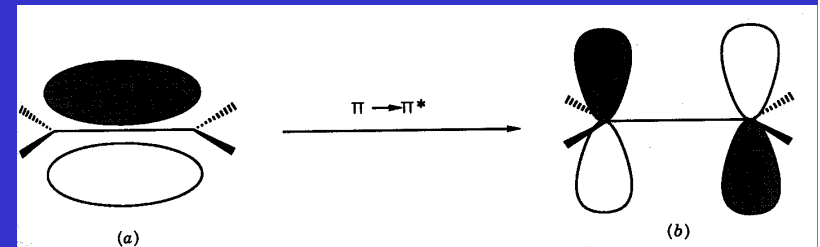
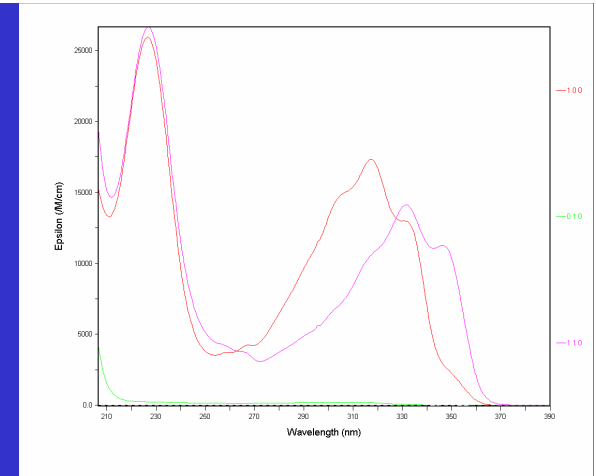
Spektrum

$$x \sim E \sim \tilde{\nu} \sim 1/\lambda$$

$y \sim$ intenzita \sim pravděpodobnost přechodu \rightarrow síla oscilátoru

$$f \equiv 4.3e-9 \int \epsilon d\tilde{\nu} \sim 4.3e-9 \epsilon_{\max} \Delta\tilde{\nu}^{1/2}$$

$$E = h\nu = hc/\lambda = hc\tilde{\nu}$$



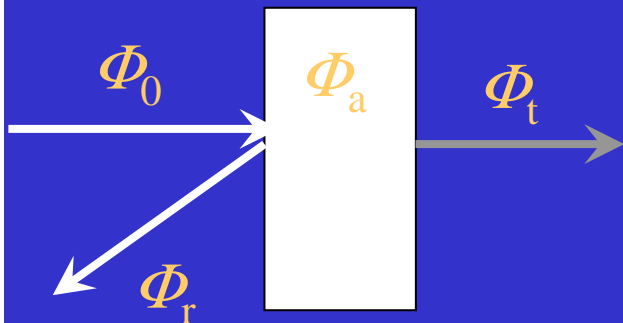
Beer – Lambert – Bouguer law

$$-\log \Phi_t / \Phi_0 = -\log \tau_i = \epsilon cb = A$$

$\tau_i = \Phi_t / \Phi_0$ vnitřní transmittance (transimisní faktor)

$\rho = \Phi_r / \Phi_0$ reflektance, reflexní faktor

$\alpha = \Phi_a / \Phi_0 = 1 - \tau$ absorptance, absorpční faktor



Veličina	Symbol	Jednotka
monochromatický zářivý tok	Φ	W
(dekadická) vnitřní absorptance	A	1
molární (dekadický) absorpční koeficient	ϵ	$\text{L mol}^{-1} \text{cm}^{-1}$
absorpční dráha	b	cm^{-1}
optická dráha kvety	l	cm^{-1}

Jednopaprskový UV – vis spektrometr

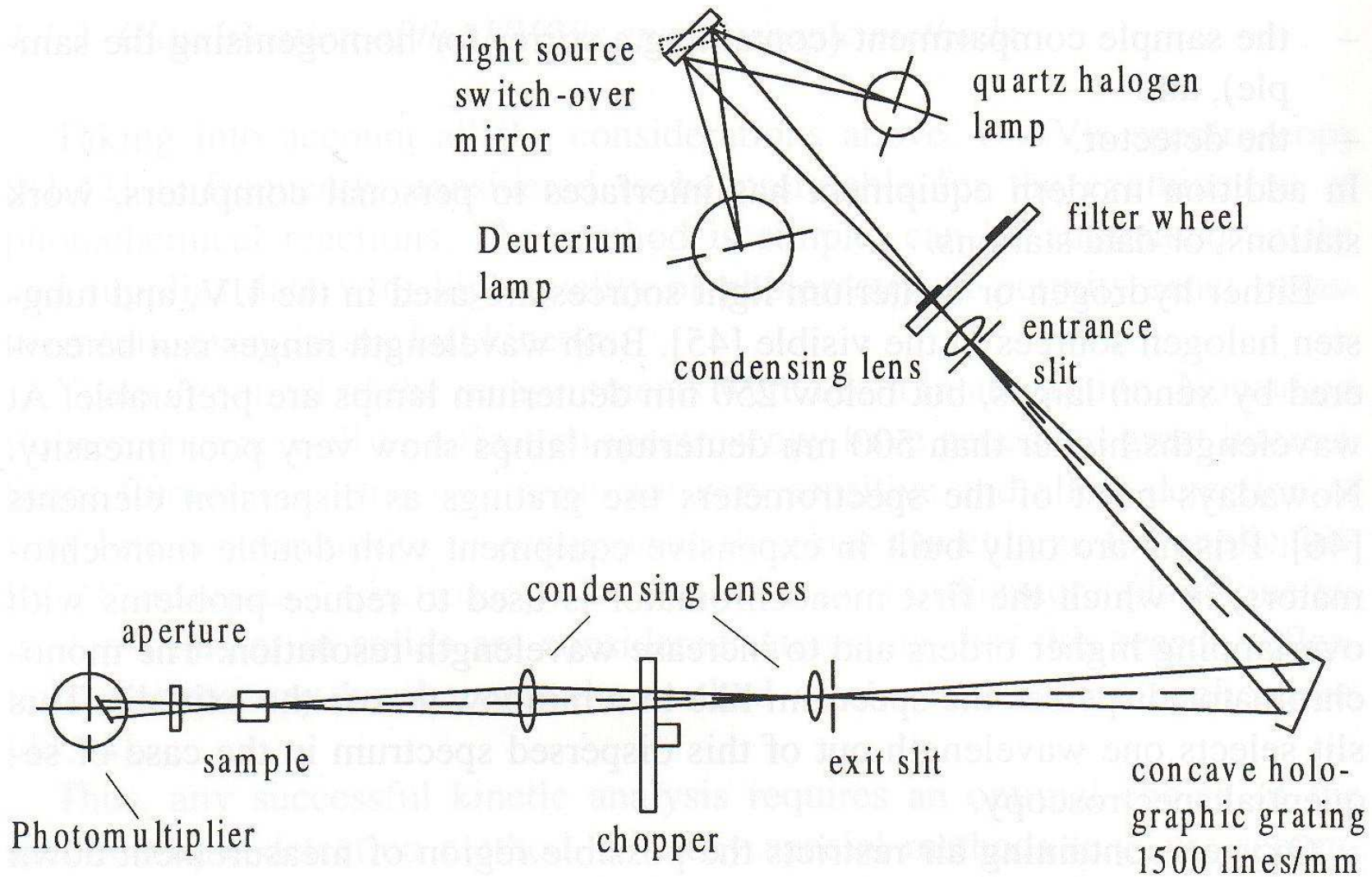


Fig. 4.1. Optical geometry of a single beam instrument, the Uvikon 710 by Kontron Instruments, Eching.

Dvoupaprskový UV – vis spektrometr

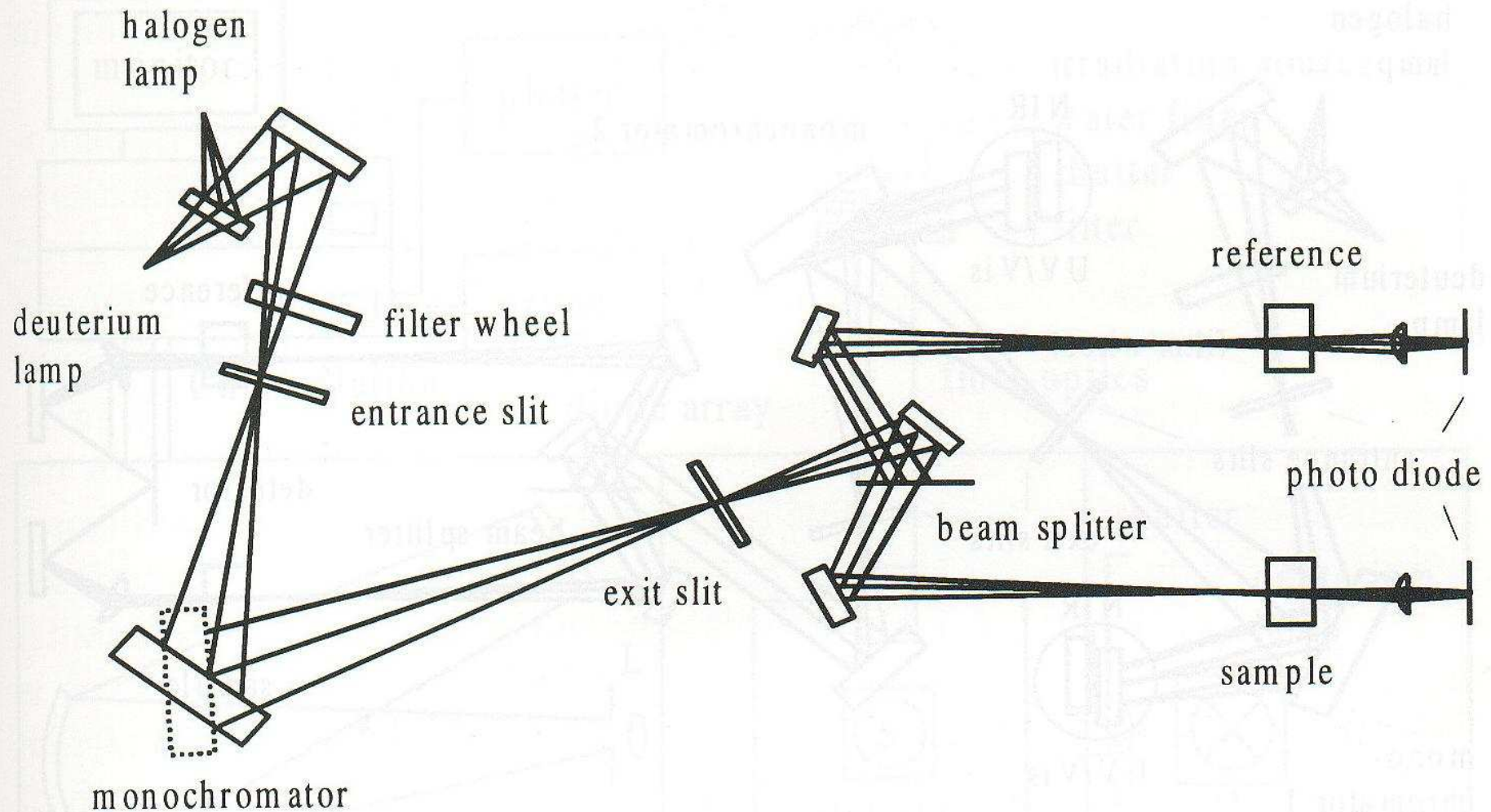


Fig. 4.2. Schematic diagram of the optical pathway in a double beam instrument Lambda 2, Perkin Elmer, Überlingen.

Dvoupaprskový, dvoumřížkový UV – vis spektrometr

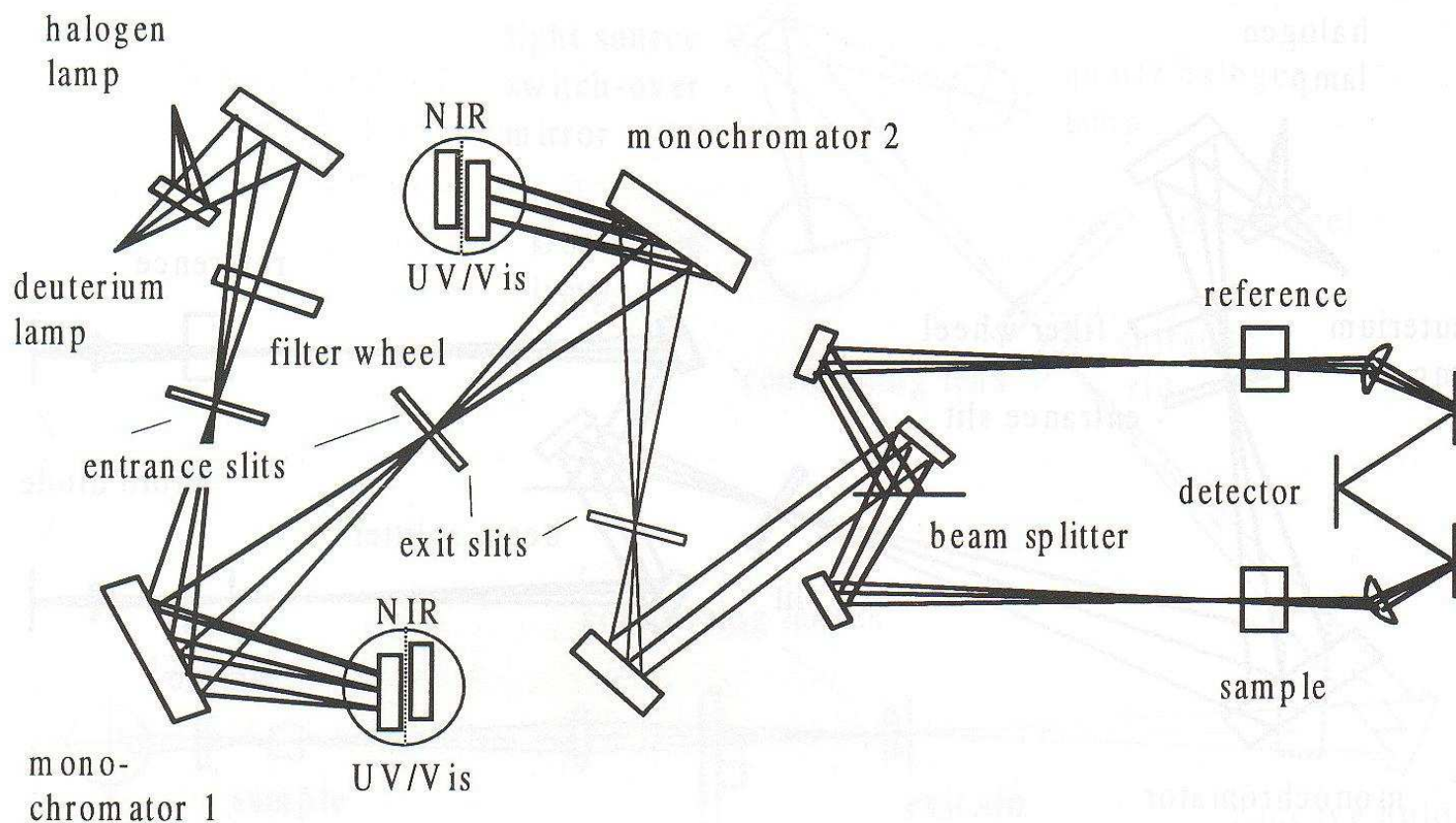
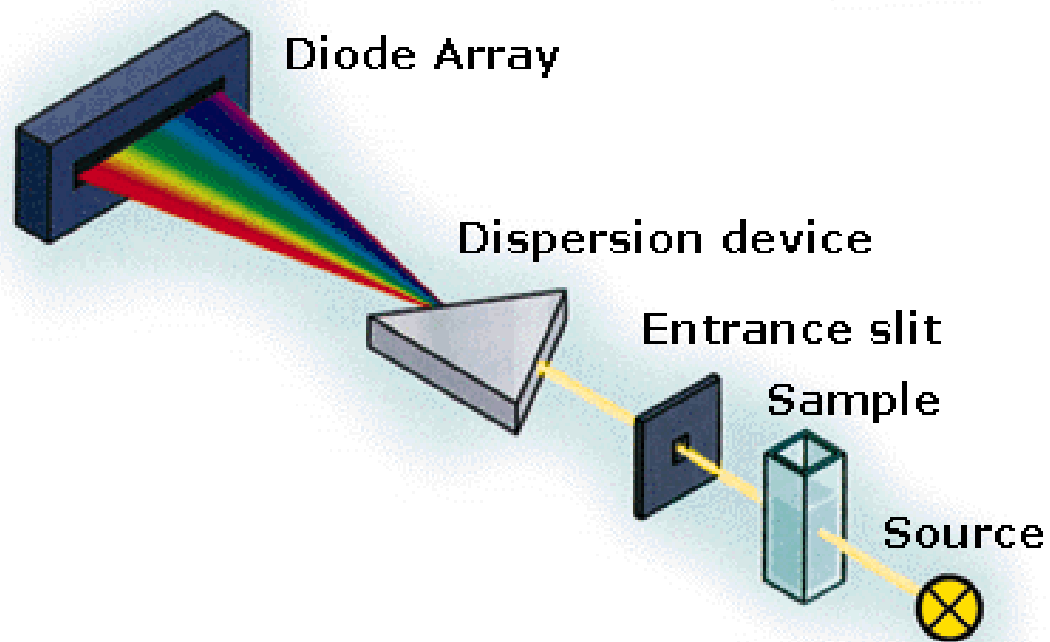


Fig. 4.3. Double beam set-up with a double monochromator for very precise photometric measurements and the possibility of taking high resolution spectra (Lambda 9, Perkin Elmer, Überlingen). This instrument covers the wavelength range from the UV until the near infrared (NIR).

Jednopaprskový UV – vis spektrometr s diodovým polem



UV – vis spektrometr

Zdroj

- čarový x spojitý
- rtuťová-halogenová výbojka <330; 1200> nm
- D₂ lampa <UV; 330> nm
- Xe výbojka <190; 1000> nm

Kyvety

- tvar
- objem
- materiál

Detektory

- foto-emisní detektory (vakuované fotonky, fotonásobiče ...)
- polovodičové detektory (fotovodivostní detektory, fotodiody, fotonásobiče; detektory s prostorovým rozlišením – CCD –charge-coupled device)

Spektrometr

- jednopaprskový x dvouprskový
- sekvenční x simultální

Lampy

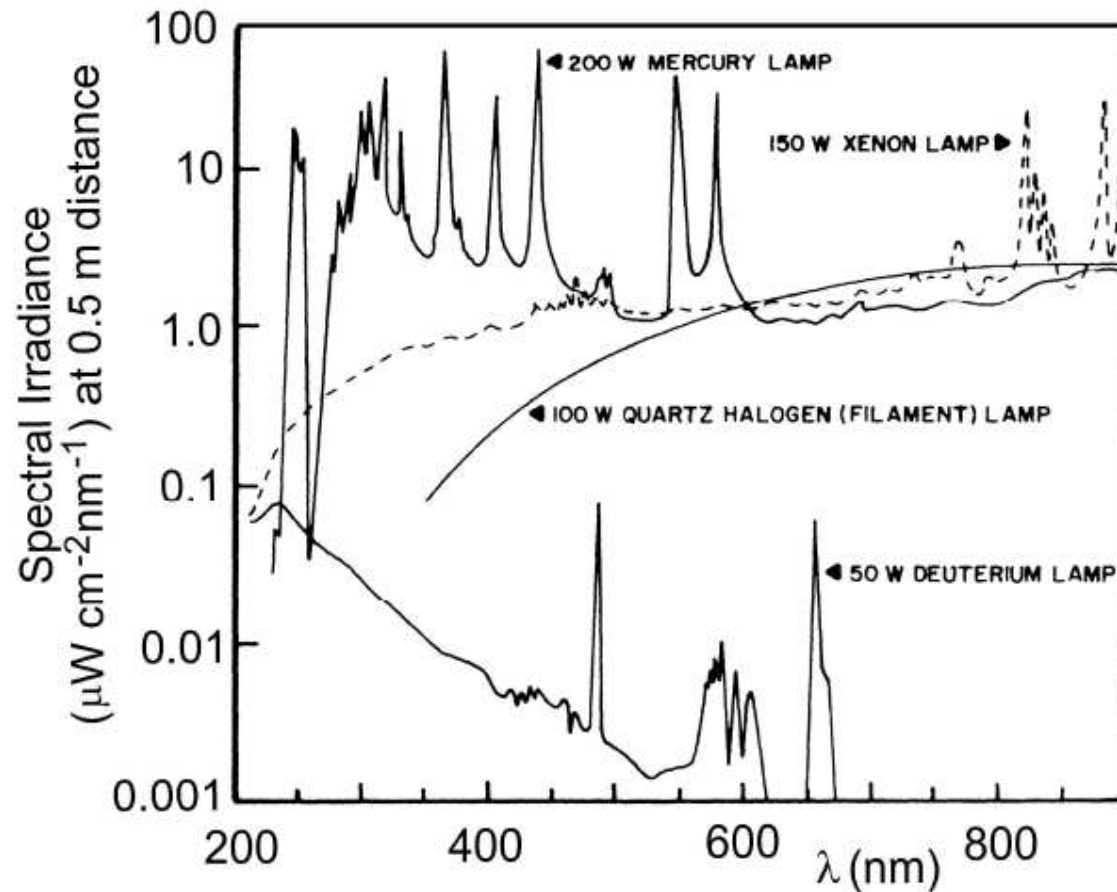


Fig. 11a-2. Spectral irradiance of some arc lamp sources. Reprinted by permission from LOT-Oriel catalogue.

Absorpční pásy organických molekul

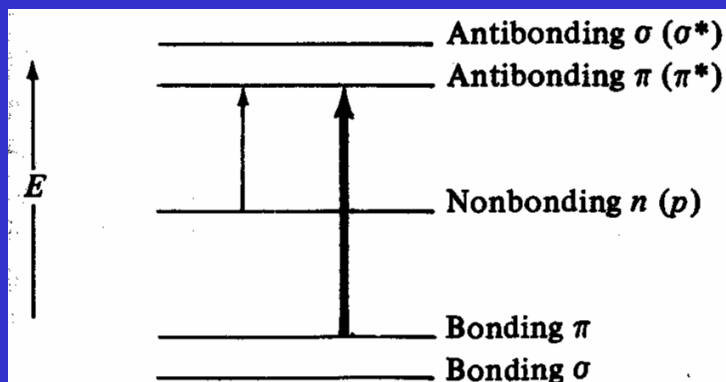
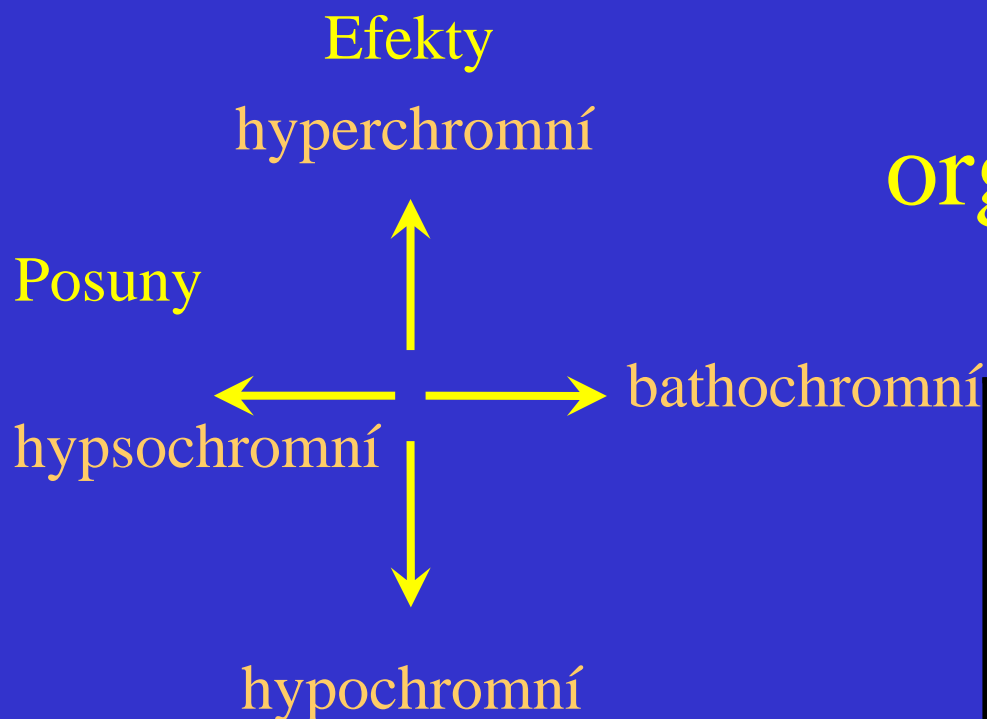
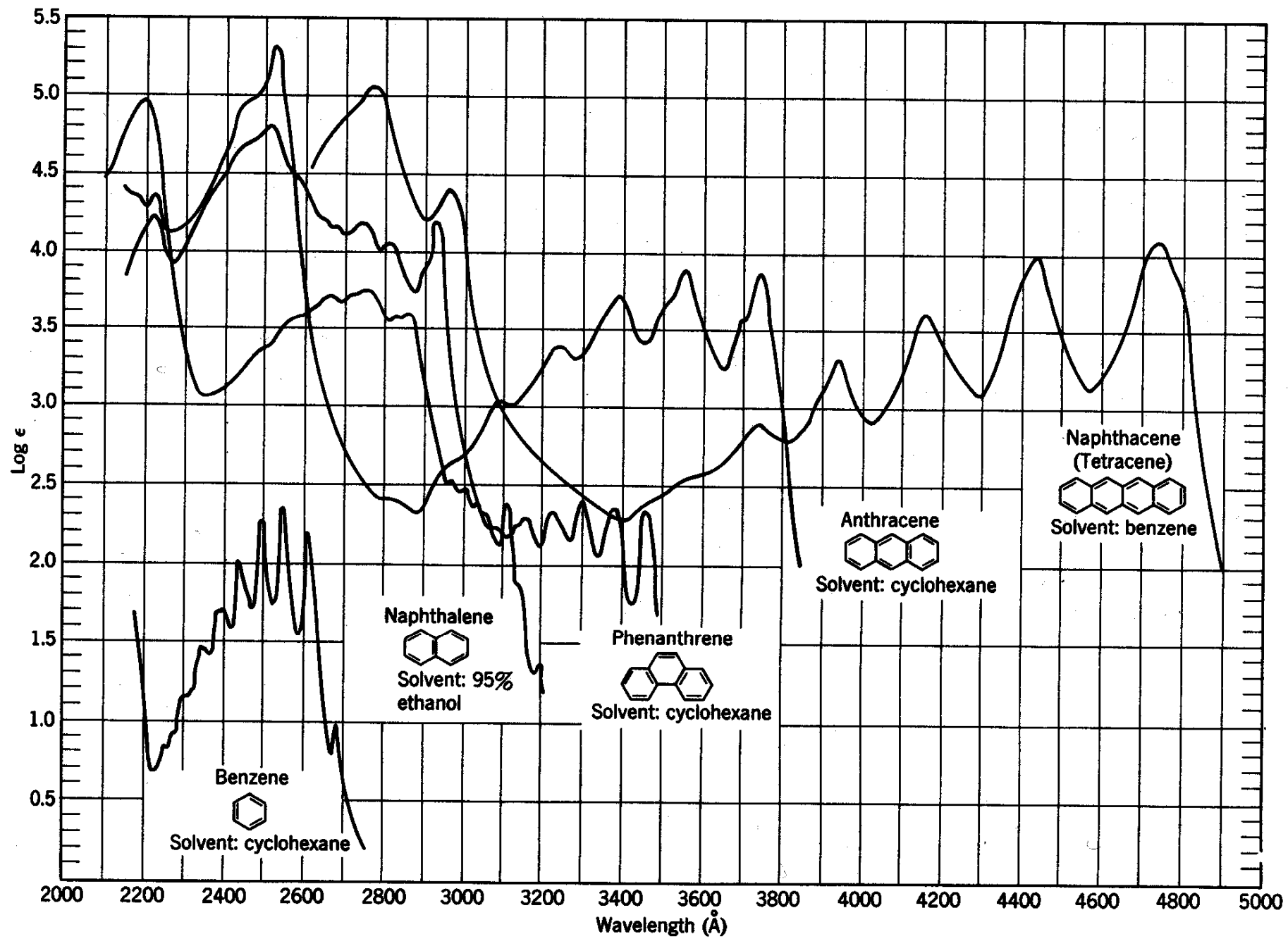


FIGURE 7.5. Summary of electronic energy levels. Both $n \rightarrow \pi^*$ and $\pi \rightarrow \pi^*$ (heavy arrow) transitions are represented.

Typ přechodu	ϵ_{\max}
$n \rightarrow \pi^*$ (R)	< 100
$\pi \rightarrow \pi^*$ (K)	> 10 000
(B – benzenoid)	~ 500
(E – ethylenic)	2000 – 14 000



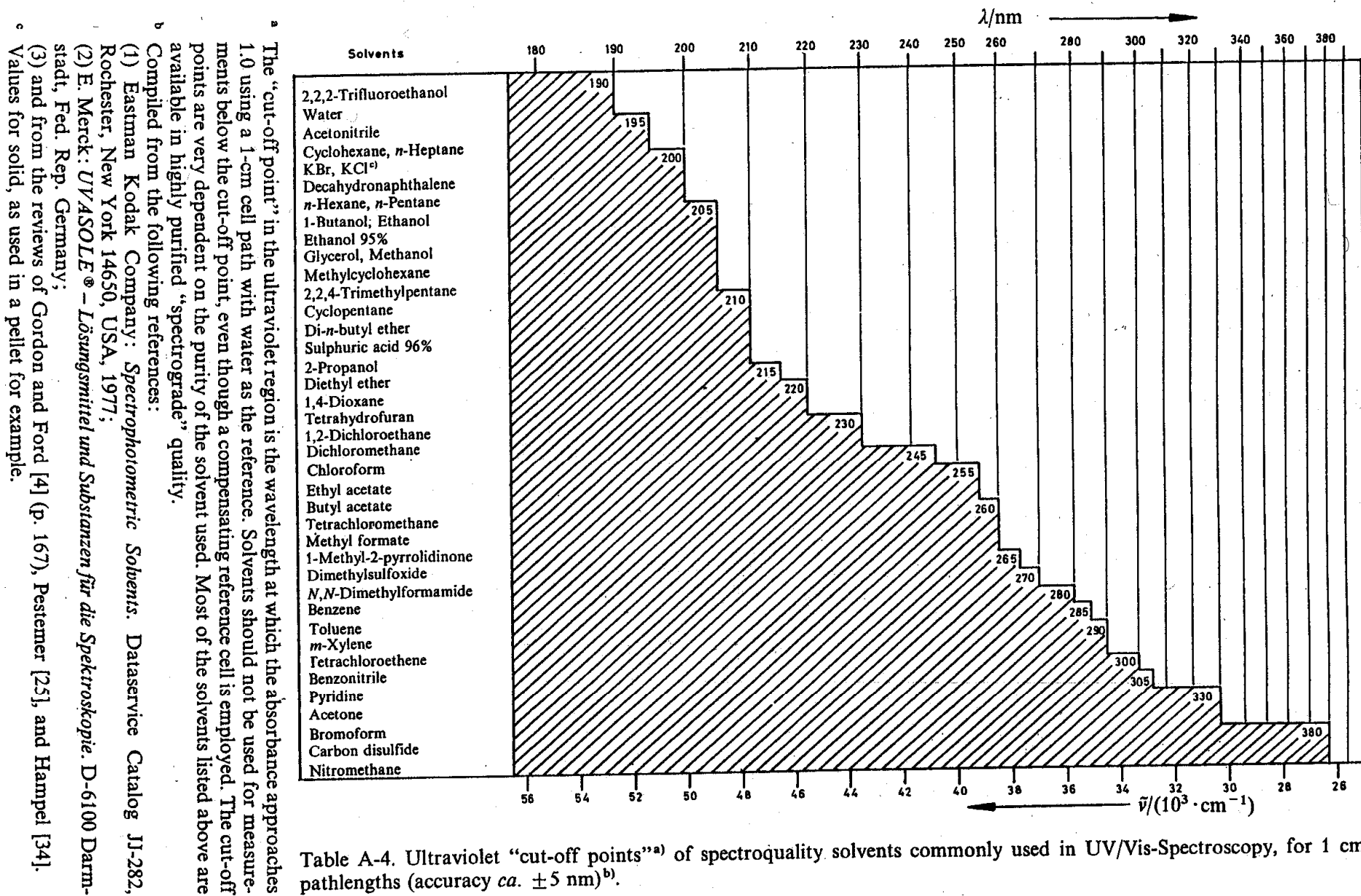


Table A-4. Ultraviolet "cut-off points"^{a)} of spectroquality solvents commonly used in UV/Vis-Spectroscopy, for 1 cm pathlengths (accuracy *ca.* ±5 nm)^{b)}.

Vyhodnocení spekter – kvantitativní

- Nalezení maxim – Antonov – Step by step filter (SBSF) – Derivační spektroskopie
- Fitování Gaussových (či jiných) křivek
- Neparametrické metody
 - Singular Value Decomposition, Target Factoral Analysis

Derivační spektroskopie

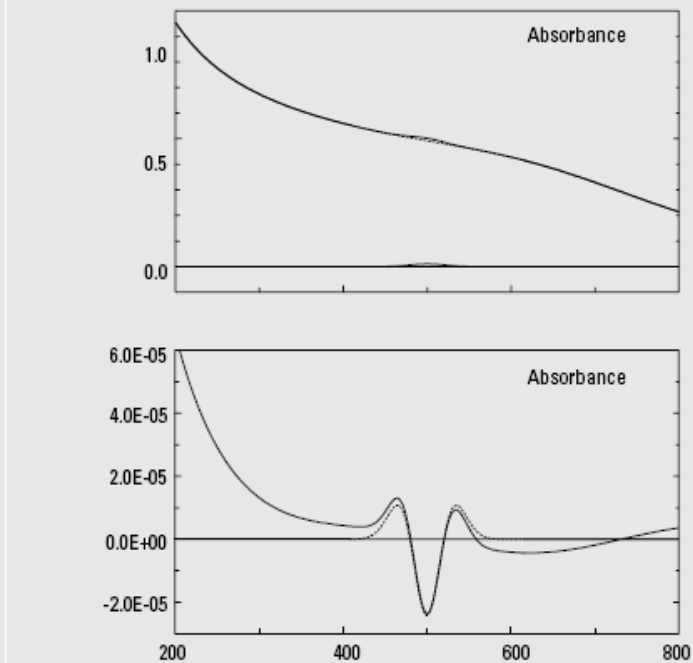
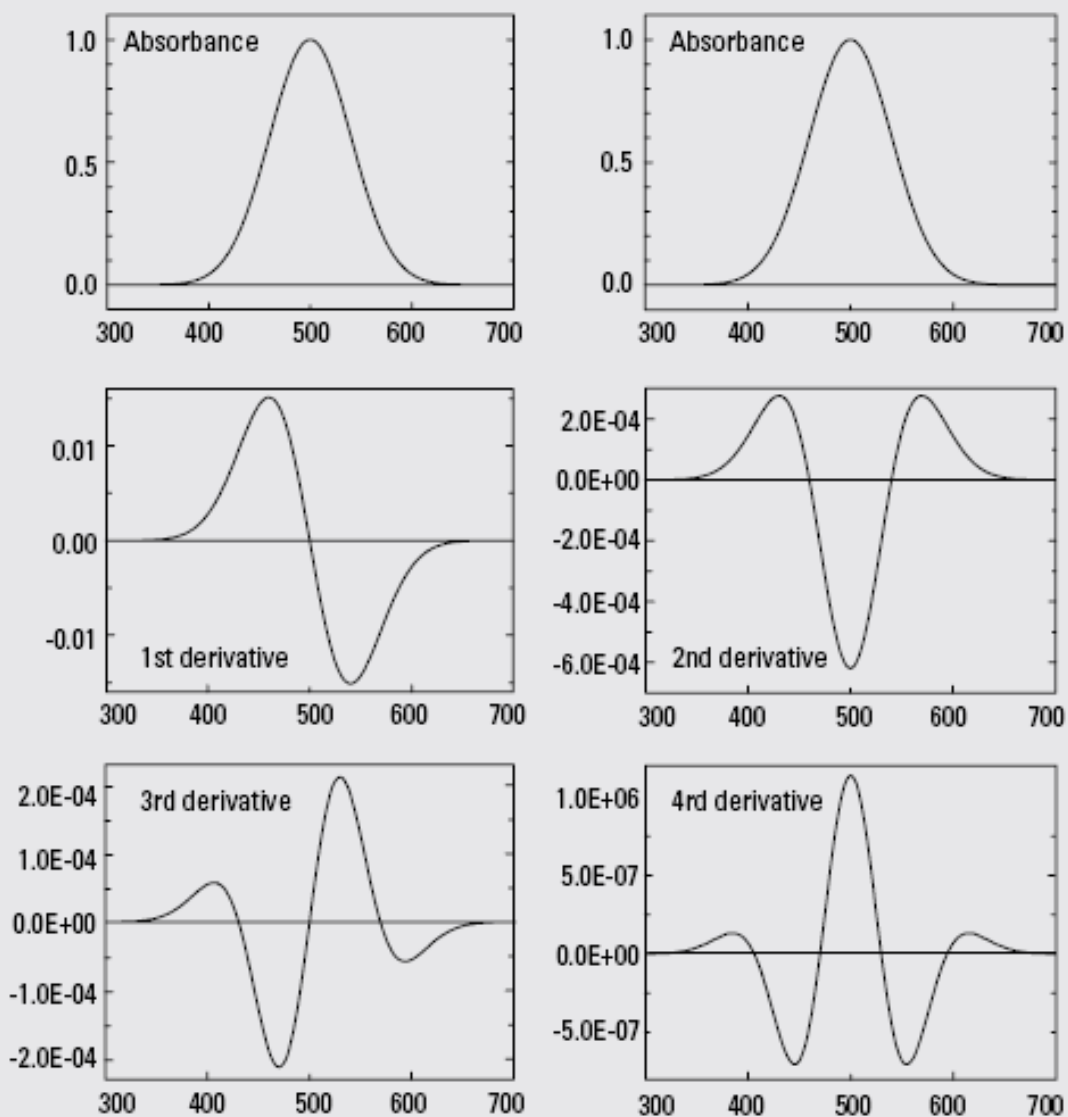
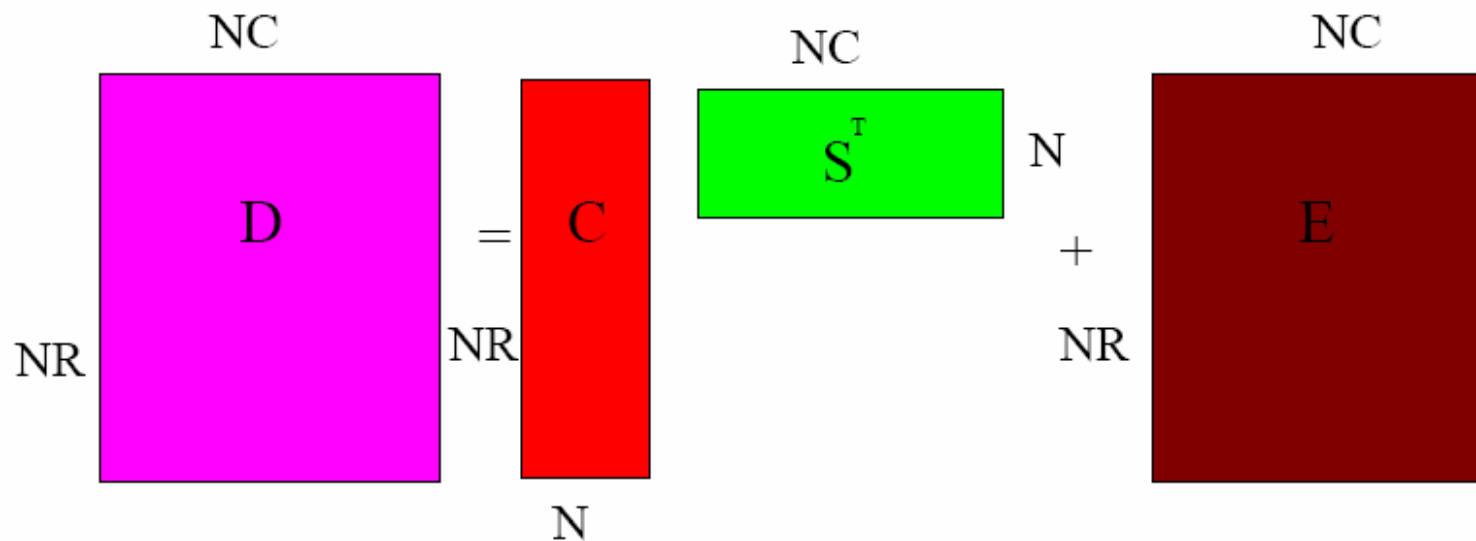


Figure 6
Matrix suppression

Multivariate Curve Resolution (MCR)

$$d_{ij} = \sum_{k=1}^N c_{ik} s_{kj} + e_{ij}$$

Bilinearity!



D(NR,NC) experimental data matrix

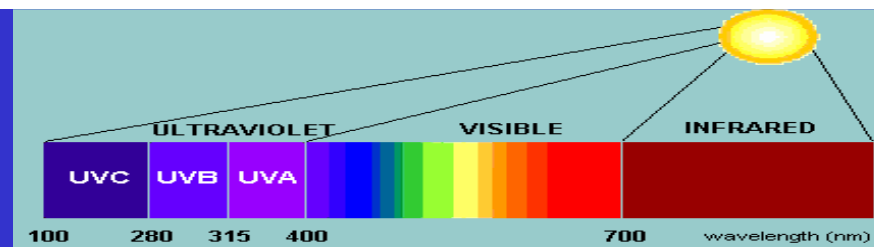
C(NR,N) row (concentration) profiles matrix

S(NC,N) column (spectra) profiles matrix

E(NR,NC) residual (noise, error) matrix

solvatochromism

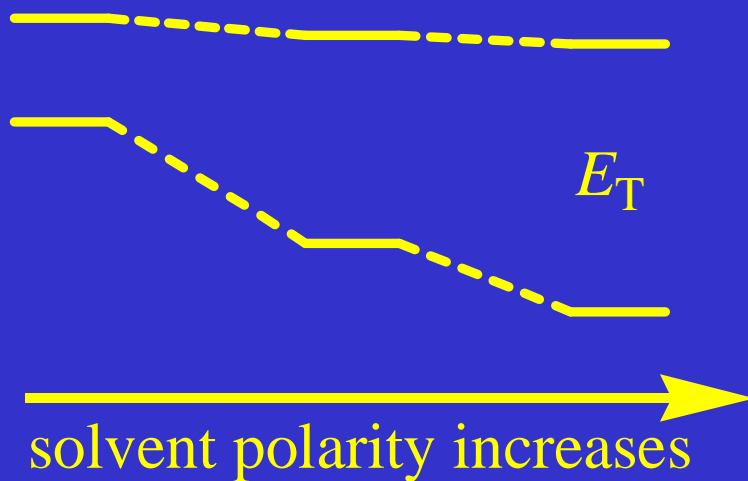
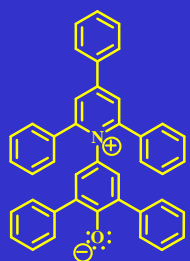
change in the position, intensity, and shape of absorption bands due to the surrounding medium



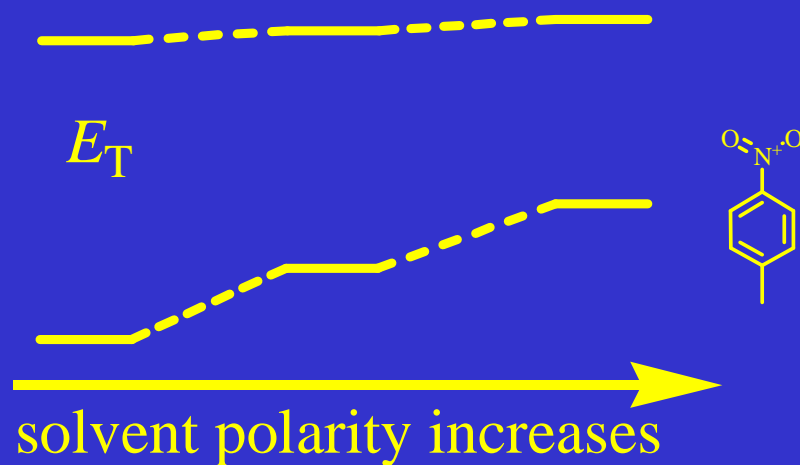
= **perichromism** (peri - around)

surrounding medium - liquids, solids, glasses, and surfaces

- negative solvatochromism
a blue (hypsochromic) shift



- positive solvatochromism
a red (bathochromic) shift



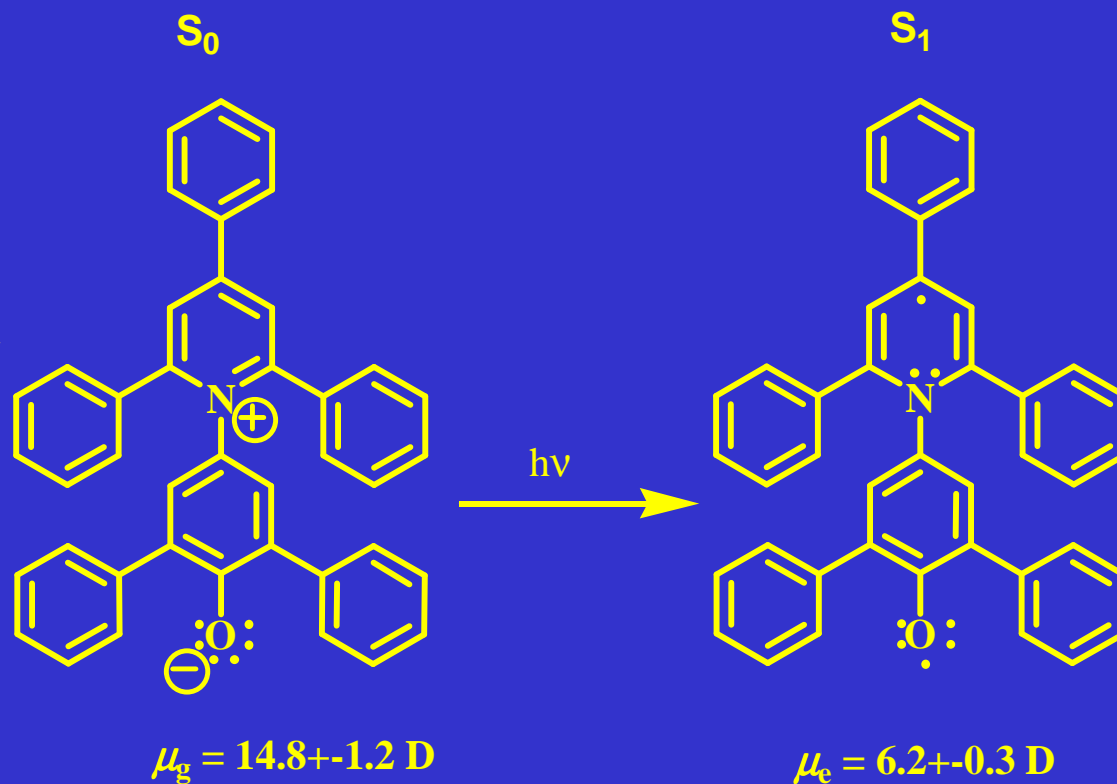
Reichardt's dye

betaine-30

2,6-diphenyl-4-(2,4,6-triphenyl-pyridium)phenolate

- dipole moment - dipole/dipole, dipole/induced dipole interaction
- π electron system - dispersion interaction
- phenolate oxygen - highly basic EPD center

dipole moment
in 1,4-dioxane



$E_T(30)$ and E_T^N scale of solvent polarity

E_T - molar electronic transition energy

$$[E_T] = \text{kcal/mol}$$

$$[E_T^N] = 1$$

$$\begin{aligned} E_T(30) &= hc \tilde{\nu}_{\max} N_A = (2.8591 \text{ E } -3) (\tilde{\nu}_{\max} / \text{cm}^{-1}) \\ &= 28591 / (\lambda_{\max} / \text{nm}) \end{aligned}$$

$$\begin{aligned} E_T^N &= (E_T(\text{solvent}) - E_T(\text{TMS})) / (E_T(\text{water}) - E_T(\text{TMS})) \\ &= (E_T(\text{solvent}) - 30.7) / 32.4 \end{aligned}$$

$$E_T^N(\text{TMS}) = 0.000 \quad E_T^N(\text{H}_2\text{O}) = 1.000$$

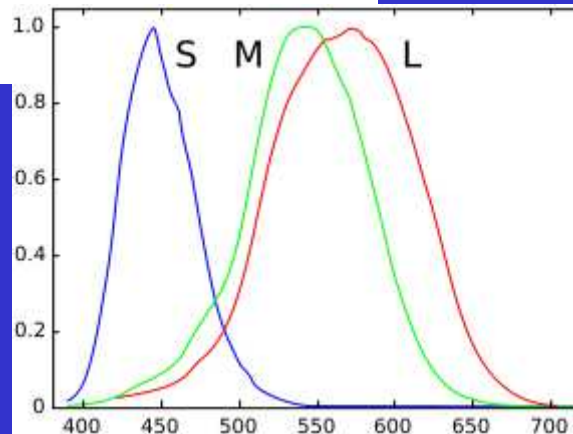
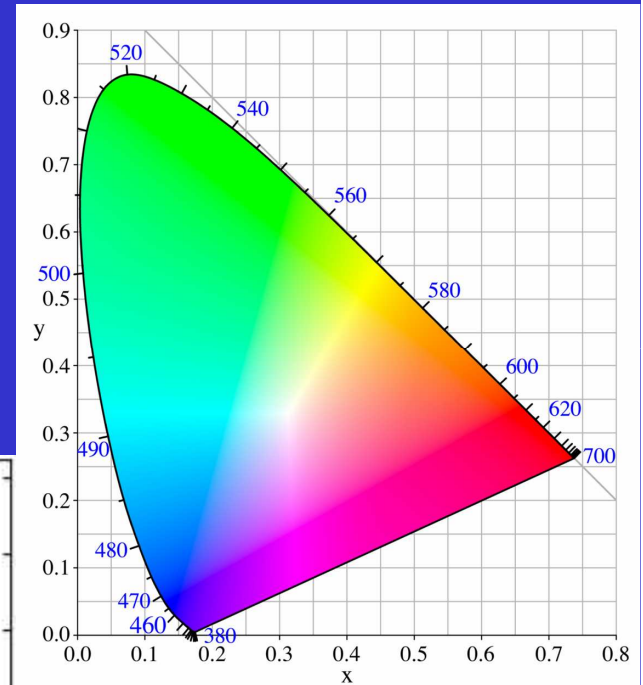
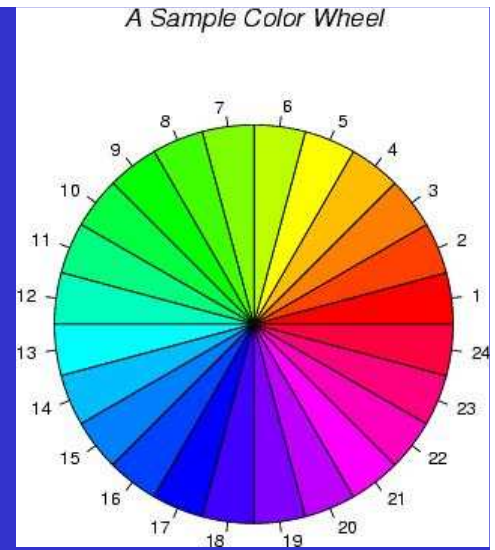
TMS = Tetramethylsilane

Látka	E_T^N
<i>n</i> -hexan	0.009
Dichlor methan	0.309
EtOH	0.608
Voda	1

SPLIT COMPLEMENT
orange with blue-violet and blue-green



Vincent Van Gogh
The Starry Night, 1889



Normalizovaná odezva lidských čípků

Odkazy, literatura

- <http://www.iupac.org/reports/VII/spectro/contents.html>
- <http://webbook.nist.gov/chemistry/name-ser.html>
- Silverstein R. M. et al: Spectrometric identification of organic compounds, John Wiley & Sons, inc.
- Reichardt, C. (1994). "Solvatochromic Dyes as Solvent Polarity Indicators." Chemical Reviews 94(8): 2319-2358.
- <http://www.hellmaoptik.com/en/kuevetten/>
- <http://www.orgchm.bas.bg/~lantonov/>

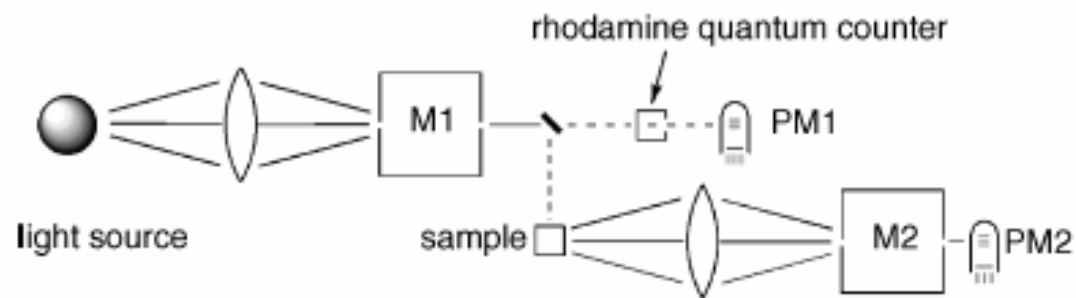


Figure 3.12 Basic components of a steady-state fluorescence spectrophotometer. The boxes M1 and M2 are monochromators and the detectors PM1 and PM2 are photomultipliers